

* Free fermion CFT (Rappel)

Majorana-Weyl fermions in 2D:

$$\gamma^i = \delta^i = \begin{pmatrix} 0 & 1 \\ 1 & 0 \end{pmatrix} \quad \gamma^2 = \delta^2 = \begin{pmatrix} 0 & -i \\ i & 0 \end{pmatrix}$$

La onde bosonique (ouverte ou fermée) est satisfaisante, au moins que la présence d'un hachoir, qui montre que le rôle est instable.

- 1) de la présence d'un hachoir, qui montre que le rôle est instable
 2) de l'absence de particules fermioniques dans le spectre.

Pour ce qui concerne 1), on a vu dans le chap. sur les théories conformes que la présence de D fermions de surface d'univers \mathcal{P}_1^{μ} , dans le secteur de Ramond, entraîne que la ride de la théorie conforme est dégénérée, et se transforme comme un spinor sous $SO(D-1, 1)$.

Comme dans le cas des bosons X^μ , la signature lorentzienne entraîne que l'espèce de hachoir des fermions ψ^μ possède des états de norme négative.

Il faut donc une symétrie locale supplémentaire, analogue à la symétrie de Virasoro, qui permette d'éliminer ces fantômes.

De plus, le mode zéro de cette symétrie doit imposer l'équation de couche de masse pour les fermions, i.e. l'équation de Dirac $\not{D} = 0$.

Comme $\not{D} \sim \partial X$ et $\partial^\mu \not{D} = 0$, le générateur doit être $G \sim \psi^\mu \partial X^\mu$.

Pour que ∂X^μ soit le moment conjugué à X^μ , cette symétrie doit donc transformer $\delta X^\mu = \epsilon \not{\partial}^\mu$: SUPERSYMETRIE DE FEUILLE D'UNIVERS

Pour ce qui est de 1) on verra qu'il est possible d'éliminer le hachoir par une projection appropriée dite GSO (odd/even, Scherk, O'Raife).

Enfin, on obtient 5 théories des supersymmes différentes en dimension $D=9+1$:

Type IIA, IIB, Type I, Heterotique E8xE8, Heterotique SO(32)
 avec $N=2$ (Type II) ou $N=1$ (I, IIA) supersymmetries dans l'espace-temps.

Supersymme et supersymétrie

$$\text{Dirac operator } \not{D} = \begin{pmatrix} 0 & \partial_1 - \partial_2 \\ \partial_2 + i\partial_1 & 0 \end{pmatrix} = \begin{pmatrix} 0 & 2\partial \\ 2\bar{\partial} & 0 \end{pmatrix} \quad \mathcal{N} = \begin{pmatrix} \psi \\ \bar{\psi} \end{pmatrix} \quad \bar{\psi} = (\bar{\psi}^\mu \psi)_\delta$$

$$S = -\frac{1}{2\pi} \int d^2x \bar{\chi} \not{D} \chi$$

$$= -\frac{1}{2\pi} \int d^2z (\bar{\psi} \partial \psi + \bar{\psi} \partial \bar{\psi})$$

$$\Rightarrow \psi(\bar{z}), \bar{\psi}(\bar{z})$$

$$\psi(\bar{z}) \psi(\omega) = \frac{1}{\bar{z}-\omega} \quad \bar{\psi}(\bar{z}) \bar{\psi}(\bar{\omega}) = \frac{1}{\bar{z}-\bar{\omega}}$$

$$\tau(z) = -\frac{1}{2} : \psi \partial \psi :$$

$$\tau(\bar{z}) \tau(\omega) = \frac{1}{4} \frac{1}{(\bar{z}-\omega)^4} + \frac{2}{(\bar{z}-\omega)^2} \tau(\bar{\omega}) + \frac{1}{\bar{z}-\omega} \partial \tau(\omega) + \text{reg}$$

$$\Rightarrow c = \frac{1}{2}$$

$$\tau(z) \psi(\omega) = \frac{1}{2} \frac{\bar{\psi}(\omega)}{(z-\omega)^2} + \frac{\partial \bar{\psi}(\omega)}{(z-\omega)} + \text{reg}$$

$\Rightarrow \psi(z)$ is a primary field of dimension $(\frac{1}{2}, 0)$
 Its mode expansion on the plane is

$$\psi(z) = \sum_{n \in \mathbb{Z} + \frac{1}{2}} \psi_n z^{-n - \frac{1}{2}}$$

but in order that $\psi(z)$ be well defined under $z \rightarrow e^{2\pi i z}$, we need $n \in \mathbb{Z} + \frac{1}{2}$!

On the cylinder, the field $\psi(\omega)$ is now antiperiodic: NS sector.
 $\psi_\omega, \psi_{\omega+2\pi}, \dots$ are annihilation, $\psi_{-\frac{1}{2}}, \psi_{\frac{3}{2}}, \dots$ are creation

$$\psi^{af}(\not{\partial}\bar{z}) = \sum_{m \in \mathbb{Z} + \frac{1}{2}} \psi_m e^{-m\omega}$$

$$\omega = \tau + i\sigma$$

$\{ \psi_n, \psi_m \} = \delta_{m+n}$ acting on vacuum

(4)

However, it is also possible to take periodic boundary conditions on the cylinder, i.e. $n \in \mathbb{Z}$: the Ramond sector

The propagator has now to be odd under $z \rightarrow -z$ and $\omega \rightarrow \omega e^{2\pi i z}$

$$\Rightarrow \langle \psi(z) \psi(\bar{w}) \rangle = \frac{1}{2} \frac{\sqrt{z/\omega + \bar{w}/\bar{\omega}}}{z-\bar{w}} = \frac{1}{z-\bar{w}} + \text{reg}$$

The modes ψ_1, ψ_2, \dots are creation, but ψ_0 is a zero-mode giving rise to degeneracy 2.

The vacuum energy is $-\frac{1}{2} \sum_{n=0}^{\infty} (n+1) = \frac{1}{16}$

i.e. $1/16$ higher than the NS vacuum

\Rightarrow there is a doublet of "spin fields" S_{\pm} of $\Delta = 1/16$

which create the R sector out of the NS, i.e. introduce a branch cut at the origin: these are the disorder operators of the Ising model

More generally, take N Majorana Weyl fermions:

$$\psi_{(r)}^i(\omega) = \frac{\delta^i}{z-\omega} \quad \text{in NS sector} \quad \Delta(\psi) = 1/2$$

In the R sector, $\{ \psi_0^i, \psi_0^j \} = \delta^{ij}$ generates a Clifford algebra. The vacuum is 2^N -fold degenerate, and transforms as a spinor of $O(N)$ (for $N=\text{even}$, 2 irreducible representations):

$$\psi_{(r)}^i |S_\alpha\rangle = 0 \quad \psi_0^i |S_\alpha\rangle = \frac{1}{\sqrt{2}} Y_{\alpha\beta}^i |Sp\rangle$$

S_α is created from the NS vacuum by a spin field with $\Delta = N/16$:

$$\psi_{(r)}^i S_\alpha(\omega) = \frac{\delta_{\alpha\beta}}{\sqrt{2}\omega} \frac{S_\beta(\omega)}{\sqrt{2-\omega}} + \text{reg.}$$

$$S_\alpha(z) S_\beta(\omega) = \frac{C_{\alpha\beta}}{(z-\omega)^{1+N/8}} + \frac{f_{\alpha\beta}}{(z-\omega)^{1-N/8}} \frac{\psi_{(r)}^i(\omega)}{\sqrt{2-\omega}} + \text{more terms}$$

The fact that the spectrum organizes itself in $SO(N)$ representations reflects the existence of conserved currents ($\Delta=1$)

$$J^{ij} = i : \psi^i \psi^j : (z) \quad \bar{\partial} J = 0$$

$$J_{(a)}^i J^{bc}(\omega) = \underbrace{\frac{\delta^{ik}\delta^{jc} - \delta^{ic}\delta^{jk}}{(z-\omega)^2}}_{\text{Structure constants of } SO(N)} + i \oint_{\gamma} \frac{\delta^{ij}\epsilon_{abc}}{z-\omega} \frac{J^{mn}(\omega)}{z-\omega} + \dots$$

which is an example of an affine algebra.

$$J^{ij}(z) \hat{S}_a(\omega) = \frac{i}{4} [J_i^j, \delta_a]_{\mu\nu} \frac{\delta^{ab}}{z-\omega} + \text{reg}$$

These need for any repn:

$$C_G = \frac{R \dim G}{R+\bar{R}}$$

$$T_R = \text{dual Coxeter (} N \text{ for } SO(N) \text{)} \quad C_R = \text{quadratic Casimir}_{N/2 \text{ for } SO(N)}$$

$$T_G = \frac{1}{2(R+\bar{R})} : J^a(z) J^a(\bar{z}): \quad \begin{array}{l} \text{"Sugawara construction"} \\ \text{of } G \text{ (among the integrable ones)} \end{array}$$

$$J^a(z) J^b(\omega) = \frac{G^{ab}}{(z-\omega)^2} + i \oint \frac{f^{abc}}{z-\omega} J^c + \text{reg}$$

$$[J_m^a, J_n^b] = m G^{ab} \delta_{mn} + i f^{abc} \oint J^c_{mn}$$

$$\downarrow = R \delta^{ab} \quad \text{for a simple group, we can invert.}$$

R is called the level of the representation.

$$J^a(z) R_i(\omega, \bar{\omega}) = \frac{(T_R)^a}{z-\omega} R_i(\omega, \bar{\omega}) + \text{reg}$$

Integrable representations of $SU(N)$ are those with at most R columns in their Young tableau. E.g. $SU(2)$: $0 \leq j \leq R/2$.

Il est utile d'introduire l'opérateur "parité fermionique" $(-1)^F$

$$\left. \begin{array}{l} \{(-1)^F, \psi_n^i\} = 0 \\ (-1)^F |0_{NS}\rangle = |0_{NS}\rangle \\ (-1)^F |S\rangle = |S\rangle \\ (-1)^F |C\rangle = -|C\rangle \end{array} \right\} \text{ selon la chiralité du spinor}$$

$$T_{NS} \left[q^{L_0 - \frac{c}{24}} \right] = q^{-\frac{N}{48}} \prod_{n=1}^{\infty} (1 + q^{n-\frac{1}{2}})^N = \left[\frac{\theta_3}{q} \right]^{N/2}$$

$$T_{NS} \left[(-1)^F q^{L_0 - \frac{c}{24}} \right] = q^{-\frac{N}{48}} \prod_{n=1}^{\infty} (1 - q^{n-\frac{1}{2}})^N = \left[\frac{\theta_4}{q} \right]^{N/2}$$

$$T_R \left[q^{L_0 - \frac{c}{24}} \right] = 2^{\frac{N}{2}} q^{\frac{N}{24}} \prod_{n=1}^{\infty} (1 + q^n)^N = \left[\frac{\theta_2}{q} \right]^{N/2}$$

$$T_R \left[(-1)^F q^{L_0 - \frac{c}{24}} \right] = 0 \quad (= [\theta_2]_{\eta^2}^{N/2})$$

où les θ_i sont les séries theta de Jacobi évaluées à $z=0$

$$\theta_1 = \theta[1], \quad \theta_2 = \theta[0], \quad \theta_3 = \theta[0], \quad \theta_4 = \theta[2]$$

$$\theta[1](z; \tau) = \sum_{m \in \mathbb{Z}} q^{\frac{1}{2}(m-\frac{1}{2})^2} e^{2\pi m i (\frac{z}{\tau} - \frac{1}{2})(m-\frac{1}{2})}$$

Rk: plus généralement, on pourra considérer les fonctions de partition

$$T_R \left(q^{L_0 - \frac{c}{24}} \in \text{qui } \sum_a z_a J_a \right)$$

(dans le réseau NS ou R, avec insertion de $(-1)^F$ ou non)

où J_a , $a = 1 \dots N/2$ sont les modes zéros des courants

$$J^{ij} = : \bar{\psi}^i \bar{\psi}^j : (z) \quad (i, j) \in \{(1, 2), (3, 4), \dots, (N-1, N)\}$$

dans la sous-algèbre de Cartan de $SOC(N)$

les fractions de partition correspondantes sont alors

$$\prod_{a=1}^{N/2} \frac{\theta_a(z_a; \tau)}{\eta(\tau)}$$

avec $\alpha = 1, 2, 3$ ou 4

les fonctions de partition à parité fixée sont donc

$$\chi_{NS}^{\pm} = T_{NS} \left[\frac{1 \pm (-1)^F}{2} q^{L_0 - \frac{c}{24}} \right] = \frac{1}{2} \left[\left(\frac{\theta_3}{q} \right)^{N/2} \pm \left(\frac{\theta_4}{q} \right)^{N/2} \right]$$

Ces fonctions de partition correspondent à des caractères de représentations de l'algorithme de current affine $\widehat{SO}(N)$ au niveau 1:

$$\chi_R^{\pm} = q^{-\frac{N}{48}} (1 + \frac{N(N-4)}{2} q + O(q^2)) \equiv \chi_0$$

$$\chi_{NS}^{\pm} = q^{\frac{1}{2} - \frac{N}{48}} (N + N(N^2 - 3N + 8) q + O(q^2)) \equiv \chi_v$$

$$\chi_R^{\pm} = 2^{\frac{N}{2}} q^{\frac{N}{2}} (1 + \frac{N}{2} q + \dots) \equiv \chi_{sc}$$

correspond to the representations obtained by acting with J^{ij}_{neo} on a ground state transforming as a singlet (0), veeer (V), Spinor (S) or conjugate spinor (C) of $SOC(N)$.

Les fonctions de partitions seront les fréquences élémentaires pour continuer l'amplitude à une boucle des amplitudes.

Algèbre superconforme $\mathcal{D}=1$: réalisation de champs libres.

(2)

$$S = \int \frac{1}{2\pi \ell^2} (\partial X \bar{\partial} X - \eta \bar{\partial} \psi - \bar{\psi} \partial \eta)$$

est invariant sous la symétrie chiralie

$$\delta X = \epsilon(\bar{z}) \psi + \bar{\epsilon}(z) \bar{\psi}$$

$$\delta \psi = \epsilon(\bar{z}) \partial X$$

$$\delta \eta = \bar{\epsilon}(z) \bar{\partial} X$$

les opérateurs associés sont

$$G(z) = \frac{\ell^2}{\ell^2} \psi \partial X, \quad \bar{G}(\bar{z}) = -\frac{\ell^2}{\ell^2} \bar{\psi} \bar{\partial} X$$

Ainsi le tenseur source impulsion $T(z) = -\frac{1}{\ell^2} : \partial X \partial X : -\frac{1}{2\ell^2} : \psi \bar{\partial} \psi :$
de satisfait à l'algèbre superconforme $\mathcal{D}=1$ avec $c=3/2$

$$T(z) T(w) = \frac{c/2}{(z-w)^4} + \frac{2}{(z-w)^2} T(w) + \frac{1}{z-w} \bar{T}(w)$$

$$G(z) G(w) = \frac{\frac{2c}{3}}{(z-w)^2} + \frac{2 T(w)}{z-w} + \dots$$

En terms de modes

$$G(z) = \sum_n G_n z^{-r-\frac{3}{2}}$$

$$\boxed{\hat{c} = \frac{2}{3} c}$$

$$\begin{aligned} T(z) &= \frac{3}{2} \frac{G(w)}{(z-w)^2} + \frac{\partial G(w)}{z-w} + \dots \end{aligned}$$

De la même manière, on peut construire des opérateurs de vecteur

$$S = \frac{1}{2\ell^2} \int d^2 z d\theta d\bar{\theta} D_\theta \hat{X} \bar{D}_{\bar{\theta}} \hat{X}$$

après avoir éliminé le champ auxiliaire F , égal à 0 par le argument

$$\begin{aligned} D_\theta \hat{X} e^{ip\hat{X}} &= (\psi + \theta \partial X) (1 + ip\theta \psi) e^{ipX} \\ &= \psi e^{ipX} + \theta \left[(\partial X + i(p\psi)\psi) e^{ipX} \right] \end{aligned}$$

qui sont utiles pour représenter les particules externes dans les calculs de diffusion de supercordons

Rq: la supersymétrie du système $X, \psi, \bar{\psi}$ peut être rendue manifeste en utilisant la formulation de superspace:

En plus des coordonnées z, \bar{z} sur la feuille d'univers, on introduit deux coordonnées anticommutantes $\theta, \bar{\theta}$, et les données courantes

$$D_\theta = \frac{\partial}{\partial z} + \theta \partial_z$$

$$\bar{D}_{\bar{\theta}} = \frac{\partial}{\partial \bar{z}} + \bar{\theta} \partial_{\bar{z}}$$

$$\{D_\theta, \bar{D}_{\bar{\theta}}\} = 0$$

$$\hat{X}(z, \bar{z}, \theta, \bar{\theta}) = X(z, \bar{z}) + \theta \psi + \bar{\theta} \bar{\psi} + \theta \bar{\theta} F$$

l'action de $X, \psi, \bar{\psi}$ se réduit

$$G_{n \geq \frac{1}{2}} |0\rangle = 0$$

le nombre n correspond à $r \in \mathbb{Z}_{\geq \frac{1}{2}}$; G est univalue sur la sphère

$$G_{n \geq \frac{1}{2}} |0\rangle = 0$$

$$|0\rangle = \text{vide sc}(z, c) \text{ invariant.}$$

• le nombre R correspond à $r \in \mathbb{Z}$. le mode G_0 n'a pas

$$G_0^2 = L_0^R - \frac{c}{16} \Rightarrow L_0^R - \frac{c}{16} \geq 0 \text{ dans une théorie unitaire superconforme}$$

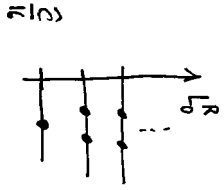
$$G_{n \geq -1} |0\rangle = 0$$

$$L_0^R - \frac{c}{16} = L_0^R \text{ si } c = 0$$

(3)

$$[L_0^R, G_0] = 0 \Rightarrow |q\rangle \text{ et } G_0|q\rangle \text{ sont dégénérés.}$$

Si $L_0^R = \frac{\hat{c}}{16}$ alors $G_0|q\rangle = 0$, et $|q\rangle$ n'est en général pas dégénéré.



$\frac{C}{16}$

On introduit l'opérateur "nombre fermionique" $(-1)^F$ tel que $\{(-1)^F, G_r\} = 0$:

$T_R(-1)^F q^{L_0 - \frac{c}{24}}$ ne reçoit de contributions que des états tels que $L_0 = \frac{\hat{c}}{16}$: c'est le "genre elliptique" de la théorie superconforme.

Pour le cas du boson libre + fermion de Majorana, $c=3h$, $\hat{c}=4$, et δ 'état du vide Ramond est doublément dégénéré, car $L_0^R = \frac{4h}{24} > 0$

La théorie superconforme de D bosons et fermions de Majorana, combinée avec les contraintes $T(\varepsilon)$ et $G(\varepsilon)$, provient du

fixage de jauge $g_{\mu\rho} = e^\phi \delta_{\mu\rho}$, $\chi_\alpha = \delta_{\alpha\dot{\eta}}$ de l'action de "Supra-Polyakov"

$$S = \frac{1}{4\pi G} \int d^3x \sqrt{g} \left[g^{\mu\rho} \partial_\mu X^\nu + \frac{i}{2} q^\mu \bar{q}^\nu \right. \\ \left. + \frac{i}{2} (\chi_\alpha \gamma^\mu \gamma^\nu \bar{\chi}^\rho) (\partial_\rho X^\mu - \frac{i}{4} \chi_\alpha \bar{q}^\mu) \right]$$

invariante sous la sym. locale

$$\delta g_{\mu\rho} = i\varepsilon (\partial_\mu \chi_\rho + \partial_\rho \chi_\mu) \\ \delta \chi_\alpha = 2 D_\alpha^\varepsilon ; \quad \delta \bar{q}^\mu = i\varepsilon q^\mu \\ \delta \bar{q}^\mu = \delta^\mu_\alpha (\partial_\mu X^\nu - \frac{i}{2} \chi_\alpha \bar{q}^\nu) ; \quad \delta \bar{q}^\mu = 0$$

$\varepsilon = \begin{cases} \text{left moving} \\ \text{fermion} \end{cases}$

(évidemment, les modes de "super-liouville" ϕ et $\bar{\phi}$ disparaissent)

(par δ_ε , on le voit en utilisant $\gamma_a \gamma^b \gamma^a = 0$ en $D=2$)

Quantiquement, il faut vérifier qu'il n'y a pas d'anomalie dans l'action superconforme; de manière équivalente, vérifier que $Q_{\text{REST}}^2 = 0$ où

$$Q_{\text{REST}} = \frac{1}{2\pi i} \oint dz J_{\text{REST}}$$

$$J_{\text{REST}} = c T_{\text{matter}} + \frac{1}{2} c T_{\text{ghost}} \\ + \gamma G_{\text{matter}} + \frac{1}{2} \gamma G_{\text{ghost}}$$

où on inclut les superpartners β, σ , de dimension $\frac{3}{2}, -\frac{1}{2}$, commutants, associés à la supersymétrie locale:

$$T_{\text{ghost}} = -2 b \partial c - (\partial b)c \\ - \frac{3}{2} \beta \partial \gamma - \frac{1}{2} (\partial \beta)\gamma \\ \Rightarrow J_{\text{REST}} = J_{\text{matter}}^{\text{matter}} \\ + \frac{3}{4} (\beta \partial c - \beta c \partial \beta) \\ + b c \partial c + \frac{1}{4} c (\partial b)\gamma \\ - b \gamma^2$$

$$G_{\text{ghost}} = -c \partial \beta - 2 \gamma b + \frac{3}{2} \partial \beta$$

Exercice: vérifier que la théorie conforme des fermions b, c, β, γ satisfait bien à l'algorithme superconforme $N=4$ avec $\hat{c} = -10$

On montre que

$$\boxed{Q_{\text{REST}}^2 = 0 \iff D = 10}$$

Le résultat physique s'obtient en calculant la cohomologie de Q_{REST} , notamment par la condition de "supra" Siegel

$$b |\text{phys}\rangle = 0, \quad \beta_0 |\text{phys}\rangle = 0$$

sur le plan de Ramond

$$+ \text{PROJECTION GSO,} \\ \text{voir plus loin.}$$

Pour notre exemple, nous allons déterminer le spectre dans la jauge du cane de lumière

$$X^\mu = x^\mu + p^\mu \tau \\ q^\mu = \bar{q}^\mu = 0$$

(4)

En raison des périodicités possibles des fermions ψ^i , il y a

4 secteurs : NS-NS, R-R, R-NS, NS-R

basés d'espace-temps fermions d'espace-temps

Conditions tout d'abord les modes gauches :

- secteur de NS :

$$L_0 = \frac{q^2 m^2}{4} = \sum_{k=1}^{\infty} \alpha_k^i \alpha_k^i + \sum_{k \neq 0} \psi_{-k}^i \psi_k^i - \alpha_{NS}$$

La constante d'ordre normal a pourtant de 8 oscillateurs fermioniques et 8 oscillateurs fermioniques antiperiodiques sur le cylindre:

$$\alpha_{NS} = 8 \left(\frac{1}{24} + \frac{1}{48} \right) = \frac{1}{2}$$

[ou alors: $\alpha_{NS} = 1/8$]

Les seuls états de masse nulle sont donc $|\psi_{-k}^i|0\rangle$,
ils transforment en un vecteur de $SO(D-2)$.

De plus, l'état $|0\rangle$ est hachénaire, de masse $m^2 = -\beta/\ell_F^2$.

Pour l'éliminer, on introduit la projection GSO (Gliozzi, Scherk, Olive) et demande que les états physiques aient

un nombre fermionique impair, $\frac{1+(-1)^F}{2} |\text{phys}\rangle = 0$

- secteur de Ramond:

$$L_0 = \sum_{k=1}^{\infty} \alpha_k^i \alpha_k^i + \sum_{k=1}^{\infty} q_{-k}^i q_k^i - \alpha_R \equiv \frac{q^2 m^2}{4}$$

$$\alpha_R = 8 \left(\frac{1}{24} - \frac{1}{48} \right) = 0$$

L'état du vide se transforme comme un spinor de Dirac de $SO(4,2)$

$$G_0 = q_0^i \alpha_0^i + 2 \sum_{n=1}^{\infty} q_n^i \alpha_n^i$$

Les états de masse nulle correspondent aux combinaisons linéaires de vides de Ramond annulées par G_0

(5)

$$\text{Soit } |\text{phys}\rangle = e^\alpha |R_\alpha\rangle \text{ tel que } \not{p}_\mu \not{p}^\mu e^\alpha = 0 : \text{équation de Dirac !}$$

On montre plus loin que la condition d'invariance modulaire requiert que l'on applique la projection GSO dans le secteur R également : $P^{\text{ext}} \varepsilon = \pm \varepsilon$

↑
deux signes possibles, selon la chiralité du spinor de $SO(D-1,1)$ que l'on souhaite garder, $|S\rangle$ ou $|C\rangle$

$$(R: \text{la relation } \{G_0, \omega\} = 2 \left(L_0 - \frac{D-2}{16} \right) = 2 L_0 \text{ n'est compatible avec } G_0 \text{ que pour } \alpha_R = 0, \text{ et donc } \alpha_{NS} = \frac{1}{2}$$

Il faut maintenant prendre le produit tensoriel des modes gauches et droits. Seul le choix relatif de projection GSO dans les secteurs Ramond gauche et droit, compte, donnant lieu à deux types différents de supercordes, dites IIB (non chirale) ou IIB (chirale)

	gauche	NS	R
gauche	$ \psi_{-k}^i \bar{\psi}_k^j \epsilon_{ij} P\rangle$ graviton, Kell Ramond, dilaton		$ \bar{\psi}_{-k}^i P, S\rangle$ gravitino + dilatino
droit			

$$\text{IIB: } |S\rangle \otimes |\bar{S}\rangle \quad \begin{array}{l} \text{0-forme, R-forme, 4-forme abduite} \\ \text{1-forme, 3-forme} \end{array}$$

$$\text{IIA: } |S\rangle \otimes |\bar{C}\rangle \quad \begin{array}{l} \text{1-forme, 3-forme} \end{array}$$

(6)

(7)

Pour démontrer la relation RR, rappelons 99 propriétés du matrice de Dirac en dimension D=9+1 :

$$[\Gamma^\mu, \Gamma^\nu] = 2\eta^{\mu\nu}$$

Γ^μ sur 32×32 , réelles, symétriques pour $\mu \neq 0$ antisymétriques pour $\mu = 0$

(les dimensions s'accordent bien : $\sum_{\mu=0}^D \binom{D}{\mu} = (1+1)^D = [2^{\frac{D}{2}}]^2$)

la matrice de conjugaison de charge est $C = \Gamma^0$:

$$\Gamma_0 \Gamma_\mu \Gamma_0 = \Gamma_\mu^T = \Gamma_\mu^+$$

$$\Gamma_\mu = \Gamma_0 \Gamma_1 \dots \Gamma_9 ; \quad \Gamma_\mu \text{ est réel et symétrique}$$

$$(\Gamma_\mu)^2 = 1 ; \quad \Gamma_\mu \Gamma_\nu = 0$$

la condition de Majorana, $S_\alpha^* = S_\alpha$ est compatible avec la condition de Weyl, $\Gamma_\mu S = \pm S$

Considérons les produits antisymétriques

$$\epsilon_{012\dots 9} = 1$$

$$\Gamma^\mu \dots \Gamma^\kappa = \frac{1}{k!} (\Gamma^\mu \Gamma^\kappa \dots \Gamma^\mu \pm \text{perm})$$

$$\text{Alors } \left. \begin{aligned} \Gamma_\mu \Gamma_\nu \Gamma^{\mu\dots\kappa} &= \frac{(-1)}{(10-k)!} \epsilon^{\mu\dots\kappa} \Gamma_{\mu\dots\kappa} \\ \Gamma^\mu - \Gamma^\kappa \Gamma_\mu &= \frac{(-4) \binom{k}{2}}{(10-k)!} \epsilon^{\mu - \kappa} \Gamma^{\mu\dots\kappa} \end{aligned} \right\} \Gamma_\mu \Gamma_\nu = \frac{(-4) \binom{k}{2}}{(10-k)!} \epsilon^{\mu - \kappa} \Gamma^{\mu\dots\kappa} \quad \text{et} \quad \Gamma_\mu \Gamma_\nu = \frac{(-1)}{(10-k)!} \epsilon^{\mu - \kappa} \Gamma^{\mu\dots\kappa}$$

On voit facilement que ces conditions sont compatibles si

$$\left. \begin{aligned} k &= \text{impair} & \text{IIA} & \xi = 1 \\ k &= \text{pair} & \text{IIB} & \xi = -1 \end{aligned} \right\}$$

k	0	1	2	3	4	5	6	7	8	9
[$\frac{k+1}{2}$]	0	1	1	2	2	3	3	4	4	5
[$\frac{k+1}{2}$]	1	1	2	2	3	3	4	4	5	5
[$\frac{k+1}{2}$]	1	1	2	3	3	4	4	5	5	5
A	B	A	B	A	B	A	B	A	B	0

En terme de la forme différentielle $F = \sum_{k=0}^{10} \frac{(-1)^k}{k!} F_{\mu_1\dots\mu_k} dx^{\mu_1} \dots dx^{\mu_k} = \sum_{k=0}^{10} F_k$

Les conditions d'état physique $\not{F} = F \not{F} = 0$ deviennent

les états non mixtes de RR dont des combinaisons linéaires de bispinors

$$F_{\alpha\beta} \cdot S_\alpha (\Gamma^\mu)_{\beta\gamma} \tilde{S}_\gamma$$

distinguant aux projections GSO

et conditions d'état physique

$$\boxed{\begin{aligned} \Gamma_\mu F &= F ; \quad F \Gamma_\mu = -\not{F} \\ P_\mu \Gamma^\mu F &= F P_\mu \Gamma^\mu = 0 \end{aligned}}$$

qui génèrent les identités de Bianchi et Maxwell pour une 1-forme, à une ($k-1$) forme, $F_k = dA_{k-1} - A_{k-1} \wedge A_{k-1} + dA_{k-2}$

Opérations de vertex covariantes

Dans le secteur de NS, les excitations de masse nulle sont données par $\oint_P c_1 \gamma_{-1/2} \psi^{\mu}_{-1/2} | \vec{P} \rangle$, $\vec{P}^2 = 0$

Tenant pour un moment les fermions, l'opérateur de vertex associé est

$$\Gamma_4^\mu = \oint_P \psi^\mu e^{i\vec{P}\cdot\vec{x}}$$

C'est la première composante du superchamp

$$g_\mu \partial_\theta X^\mu e^{i\vec{P}\cdot\vec{x}} = \underbrace{g_\mu \psi^\mu e^{i\vec{P}\cdot\vec{x}}}_{V_4} + \underbrace{\theta g_\mu (\partial X^\mu + i\vec{P}\cdot\vec{\psi}) \psi^\mu}_{V_0} e^{i\vec{P}\cdot\vec{x}}$$

L'opérateur V_0 est approprié pour construire un opérateur de vertex intégré, puisqu'il a dimension 1, et $\int dz d\theta \hat{V}(z, \theta) = \int dz V_0(\theta)$.

On vérifie en effet que V_0 est Q-Burst - fermé pour $\vec{p}^2 = 0$ et $p_i \bar{p}_j = 0$, dans catégorisation supplémentaires de fermions. On y reviendra plus loin.

* Dans le secteur de R, les excitations de masse nulle sont données par

$$\oint_P c_A \gamma^+ | S_A \rangle \otimes | \vec{P} \rangle$$

où S_A est le champ de spin du fermion ψ^μ , de dimension $\frac{10}{16} = \frac{5}{8}$. L'opération $\gamma_{3/8}$ est nécessaire pour obtenir une dimension totale 0, et sera expliquée plus loin.

Pour construire plus explicitement les opérateurs S_A , il est utile d'introduire la notion de bosonisation:

(11)

Considérons un champ scalaire $H(z)$: alors les opérateurs

$$J(z) = \frac{i\sqrt{2} \partial H}{\ell_S} ; \quad \Psi = : e^{i\sqrt{2} \frac{H}{\ell_S}} : ; \quad \bar{\Psi} = e^{-i\sqrt{2} \frac{H}{\ell_S}}$$

de dimension conforme 1, $1/2$, $1/2$ et charge 0, ± 1 , -1

et une algèbre d'OPÉ isomorphe à celle de deux fermions de

$$Majorana Weyl \quad \psi_{i\ell} \quad \psi_{i\ell}(w) = \frac{J_{ij}}{z-w}$$

$$\Psi = \frac{\Psi^1 + i\Psi^2}{\sqrt{2}} \quad \bar{\Psi} = \frac{1}{\ell_S} (\Psi^1 - i\Psi^2) \quad J = : \Psi \bar{\Psi} :$$

$$\text{En effet} \quad J(z) \Psi(w) = \frac{\Psi(w)}{z-w} + \dots$$

$$J(z) \bar{\Psi}(w) = -\frac{\bar{\Psi}(w)}{z-w} + \dots$$

$$J(z) J(w) = \frac{1}{(z-w)^2}$$

On montre que les espaces de Hilbert sont aussi isomorphes, pourvu que $H(z)$ soit un boson compact de rayon $R = \ell_S/\sqrt{2}$.

Pour un nombre pair D de fermions, on introduit de même $\frac{D}{2}$ bosons $H_i(z)$

En finme, des H_i , il est aisé de construire le champ de spin S_A , satisfaisant

$$\psi^\mu(z) S_A(w) = \frac{\gamma_A^\mu \beta}{\sqrt{2}} \frac{S_\mu(w)}{(z-w)}$$

$$S_A(z) \Psi(w) = \frac{C_A \beta}{(z-w)^D} + \dots$$

Il suffit de prendre

$$S_A = : \exp \frac{i}{\sqrt{2} \ell_S} \sum_{i=1}^{D_A} \epsilon_i H_i : \quad \text{où} \quad \epsilon_i = \pm 1$$

Le nombre de tels champs est $D_A =$ dimension du spinor de SO(D). La chiralité du spinor est donnée par la partie du nombre de signes \oplus .

(12)

CFT of ghosts (raffel)

The b, c ghosts of diffeomorphism invariance have $\Delta = 2, -1$, resp.
 Soon we will encounter the β, γ superghosts of local supersymmetry,
 with $\Delta = 3/2, -1/2$, resp.

We can treat both uniformly by taking $b : \Delta = 2$
 $c : \Delta = 1-2$

and $\epsilon = 1$ (anticommuting)
 -1 (commuting)

Then $S = \frac{1}{\pi} \int d^2z b \bar{b} c$ is independent of λ ,

but $T = -\lambda b \partial c + (1-\lambda) \partial b \cdot c$

$$c(z) b(\omega) = \frac{1}{z-\omega} + \text{reg}$$

$$b(z) c(\omega) = \frac{\epsilon}{z-\omega} + \text{reg}$$

$$c_m b_n + \epsilon b_n c_m = \delta_{m+n}$$

NS sector ($\lambda = 1$): $b_n : n \in \mathbb{Z} + \frac{1}{2} - 2$

R sector ($\lambda = -1$): $b_n : n \in \mathbb{Z} + 2$

$$c_n : n \in \mathbb{Z} + \frac{1}{2} + 2$$

$$c = -\epsilon \delta (6\lambda^2 - 6\lambda + 4) \quad Q = \epsilon(1-2\lambda)$$

$$= \epsilon \begin{pmatrix} \lambda = 2, \epsilon = 1 : & c = -26 \\ \lambda = 3/2, \epsilon = -1 : & c = 44 \end{pmatrix} \quad Q = 1$$

$J(z) J(\omega) = - : b(z) c(\omega) :$ is anomalous:

$$T(z) J(\omega) = \frac{Q}{(e^{-\omega})^2} + \frac{J(\omega)}{(e^{-\omega})^2} + \frac{\partial \omega J}{2^{-\omega}}$$

a, m commutes form,

$$[L_m, J_n] = -n J_{m+n} + Q \delta_{m,n} (m+1) \delta_{m+n}$$

This implies that the only non-vanishing correlation are those for which

$$\# c - \# b = -\frac{\epsilon}{2} Q \chi = +\epsilon Q (2g-2)$$

In NS sector, the vacuum is annihilated by

$$b_n > -\lambda |0\rangle = c_n > \lambda - 1 |0\rangle = 0$$

In particular, for $\lambda = 2$, $c_1 |0\rangle \neq 0$ and has $Q_0 = -1$.

$$T_m \lambda = 'k, \epsilon = 1 : \quad Q = 0, \epsilon = 1$$

This is just a free complex fermion.

Bosonization: $J = -b \partial c$: may be represented as

$$J = -\partial \phi$$

$$<\phi(z) \phi(\omega)> = -\log(z-\omega)$$

Add a fermionic system with $\lambda = 1$: $(n; \frac{\epsilon}{2})$

$$\Delta = 1$$

$$c(z) = e^{\phi/2} \quad b(z) = e^{-\phi/2} \partial \phi \quad \text{reproduces all oper's.}$$

Note that ϕ has a background charge $Q = 2\lambda - 1$

$$\phi : e^{q\phi} : \text{has dimension } -\frac{q(q+Q)}{2}, \text{ charge } q.$$

$$e^{\pm \phi/2} (\Delta = -(1 \pm 2\lambda)/8) \text{ take the NS sector to the R.}$$

(13)

4) Revenons maintenant à la construction des superparticules :

là aussi, il est utile de "bosoniser" :

on introduit un boson chiral $\phi(z)$, avec une charge de fond

$Q = 2\lambda - 1$ et un système fermionique (γ, ξ) de dimension $(1, 0)$:

$$\hat{T} = \frac{1}{2} (\partial\phi)^2 - \frac{Q}{2} \partial^2\phi - \eta \partial\xi$$

$$\text{est équivalent à } T = -\frac{3}{2} \phi\partial\gamma - \frac{1}{2} \partial\phi\gamma$$

$\lambda = \frac{3}{2}$

en identifiant

$$\boxed{\beta = e^{-\phi} \partial\gamma}, \quad \boxed{\gamma = e^{\phi} \eta}$$

$$[e^{-\phi}] = \gamma, \quad [e^\phi] = -\frac{3}{2}\gamma, \quad [\beta] = \frac{3}{2}, \quad [\gamma] = -\frac{1}{2}$$

les charges de spin de (β, γ) sont maintenant

$$[e^{-\phi\alpha}] = \frac{3}{8} \quad \text{et} \quad [e^{\phi\alpha}] = -\frac{5}{8}$$

* Nous avons maintenant tous les ingrédients pour construire les opérateurs de vertex courants :

$$V_0 = \frac{i}{\hbar} [\partial X^\mu + i(\rho \cdot \psi) \psi^\mu] e^{ipX}$$

$$V_{-1} = e^{-\phi} \left[\begin{array}{l} \epsilon_\mu \psi^\mu e^{ipX} \\ \end{array} \right]$$

$$V_{-1/2} = e^{-\phi/2} \left[\begin{array}{l} u^\alpha S_\alpha(z) e^{ipX} \\ \end{array} \right]$$

$$V_{1/2} = e^{\phi/2} u^\alpha \Gamma_{\alpha\beta}^\mu S^\beta(z) \partial X^\mu(z) e^{ipX} + \dots$$

termes qui ne contribuent pas à l'amplitude

à l'ordre $4pt$

l'indice, correspondant à la charge sous $J = \partial\phi$, est appelé "ghost picture".

la charge totale doit être égale à $-Q_{1/2} = 2g-2$ pour obtenir un résultat non nul.

la charge de "ghost picture" peut être changée en appliquant une "fausse transformation BRST",

$$V_{g+1} = [Q_{BRST}, \frac{\delta}{\delta t} V_g] : \text{BRST non trivial, car le mode}$$

$O_{01}^{(1)}$ est bas de l'opéra de

Amplitude à une onde

Rappel (onde bosonique fermée):

En théorie des champs, l'amplitude du rideau pour des champs libres de masse m_i , spin $\frac{1}{2}$ (et donc nombre fermionique $F_i = 2S_i + 1$), par le thm d'uni-statistique) est donnée par

$$\ln Z_{\text{rideau}} = -\frac{i}{2} V_D \int \frac{d^D p}{(2\pi)^D} \sum_i (-1)^{F_i} \log(p^2 + m_i^2)$$

$$\bullet \text{ En utilisant } \int_0^\infty \frac{dt}{t^{1+\frac{1}{2}}} \exp(-\pi t M^2) = (\pi M^2)^{\frac{1}{2}} \Gamma(-\frac{1}{2}) \\ \sim -\frac{1}{2} - (\log(\pi M^2) + \gamma) + O(\epsilon)$$

on obtient

$$\begin{aligned} \ln Z_{\text{rideau}} &= \frac{+i}{2} V_D \int_0^\infty \frac{dt}{t} \int \frac{d^D p}{(2\pi)^D} \sum_i (-1)^{F_i} \exp\left[-\pi t(p^2 + m_i^2)\right] \\ &= \frac{i}{2} \frac{\sqrt{V_D}}{(2\pi)^D} \int_0^\infty \frac{dt}{t} \cdot \frac{1}{t^{D/2}} \sum_i (-1)^{F_i} \exp(-\pi t m_i^2) \end{aligned}$$

En théorie des cordes, dans le cas d'une fermion, dans le langage du théorème des cordes fermées, dans le langage du cône à fermions,

$$m_i^2 = \frac{\lambda}{\ell_S^2} \left(L_0^\perp + \bar{L}_0^\perp \right)$$

De plus, on a la condition de "level matching" $L_0^\perp - \bar{L}_0^\perp = 0$, que l'on peut imposer par un multiplicateur de Lagrange θ :

$$\ln Z_{\text{rideau}} = \frac{i}{2} \frac{\sqrt{V_D}}{(2\pi)^D} \int_0^\infty \frac{dt}{t} \cdot t^{-\theta/2} \cdot \int_{-\frac{1}{2}}^{\frac{1}{2}} d\theta$$

$$T'(-1)^F \exp\left[-\frac{\pi i t}{\ell_S} (L_0^\perp + \bar{L}_0^\perp) + 2\pi i \theta (L_0^\perp - \bar{L}_0^\perp)\right]$$

trouvez les modes seu

(1)

$$\bullet \text{ On définit } \tau = \theta + \frac{i t}{\ell_S^2} = \tau_1 + i \tau_2 : \quad q = \exp(2\pi i \tau)$$

$$\begin{aligned} \ln Z_{\text{rideau}} &= \frac{i}{2} \frac{V_D}{(4\pi^2 \ell_S^2)^{D/2}} \int_0^\infty \int_{-\frac{1}{2}}^{\frac{1}{2}} \frac{d\tau_1 d\tau_2}{\tau_2^{1+D/2}} T'_1(-1)^F q^{\tau_0} \bar{q}^{\bar{\tau}_0} \\ &= \frac{i}{8\pi^2 \ell_S^2} V_D \int_F \frac{d\tau_1 d\tau_2}{\tau_2^2} \frac{1}{(4\pi^2 \ell_S^2 \tau_2)^{D/2}} T'_1(-1)^F q^{\tau_0} \bar{q}^{\bar{\tau}_0} \end{aligned}$$

$$\text{où } F = \left\{ \tau_2 > 0, -\frac{1}{2} \leq \tau_1 \leq \frac{1}{2} \right\}$$

En théorie des cordes, on obtient un résultat analogue, où le domaine d'intégration F est remplacé par le domaine fondamental de l'action du groupe modulaire $SL(2, \mathbb{Z})$ sur le demi-plan supérieur, et où l'intégrand est invariant modulaire.

$$F_0 = \left\{ \tau_2 > 0, |\tau| > 1, |\tau_1| \leq \frac{1}{2} \right\}$$

Eq. pour la onde bosonique en dimension 26,

$$\ln Z_{\text{rideau}} = \frac{i}{2} \frac{V_D}{8\pi^2 \ell_S^2} \int_{F_0} \frac{d\tau_1 d\tau_2}{\tau_2^2} \frac{1}{[2\pi \ell_S \sqrt{\tau_2} \eta \bar{\eta}]^{24}}$$

On point de vue de l'intégrale fonctionnelle,

$$\eta(-1/z) = \sqrt{-iz} \eta(z) ; \quad \eta(zw) = e^{\frac{i\pi z}{2}} \eta(z)$$

Intégrale sur les modules de volume du groupe Killing fondue de partition fondante b.c.

$$\begin{aligned} \ln Z_{\text{rideau}} &= i \int_{F_0} d\tau_1 d\tau_2 \cdot \frac{1}{2} \cdot \frac{1}{\tau_2} \cdot \frac{V_D}{(\partial \tau_1 \ell_S \sqrt{\tau_2} \eta \bar{\eta})^{24}} \cdot \eta^2 \bar{\eta}^2 \\ &\quad \downarrow \quad \downarrow \\ &\quad \text{volume du groupe Killing fondue de partition fondante b.c.} \end{aligned}$$

(2)

Rk: on note $d^2 = dz d\bar{z} = 2dz_1 d\tau_2$

(3)

Dans le superspace de type I :

Il faut maintenant viduer la contribution des fermions, et imposer la projection GSO.

La restriction du domaine d'intégration au domaine fondamental \mathbb{F} implique que les divergences UV de la théorie des champs (provenant de la région $t \rightarrow 0$) sont absentes.

Les divergences IR sont les mêmes qu'en théorie des champs ordinaires.

Pour la onde bosonique fermée, lorsque $t \rightarrow \infty$

$$\eta(z) \sim q^{\frac{1}{84}} (1 - q + \delta(q^2))$$

Soit

$$\ln Z_{\text{virt}} \sim \frac{i \sqrt{26}}{2 \cdot (\alpha \kappa \ell_s)^{24}} \int_{z_1}^{\infty} dz_1 dz_2 \cdot \frac{1}{z_2^{12}} \cdot \frac{(1+24q)(1+24\bar{q})}{q\bar{q}}$$

$$\sim \frac{i}{2} \left(\frac{\sqrt{26}}{2 \alpha \kappa \ell_s} \right)^{24} \int_{z_1}^{\infty} \frac{dz_2}{z_2^{14}} \left(\exp(4\pi z_2) + (24)^2 + O(\exp(-4\pi z_2)) \right)$$

↑
 divergence due
 au recouvrement IR-finie
 des états de masse

mulle

Physiquement, $\ln Z_{\text{virt}}$ représente la densité d'énergie du vide,

ie la constante cosmologique Λ dans le référentiel des cordes (dans le

référentiel d'Einstein, elle correspond à un potentiel en $\exp(\frac{8D}{32} \varphi)$:

$$\int \sqrt{G} d^3x (R e^{-8\varphi} + \Lambda_D) \rightarrow \int \sqrt{G_E} d^3x (R_E + e^{\frac{8D}{32}\varphi} \Lambda)$$

qui distabilise le vide à l'ordre des orbites, au moins que $\Lambda = 0$.

Dimensionnellement, $\Lambda_S \sim (\frac{1}{\ell_s})^D \sim m_p^D$

à comparer avec la valeur donnée $\Lambda_4 \sim (10^{-2} \text{eV})^4$..

Voir

Ré: plus généralement, on peut considérer les fonctions de partition

$$\Theta[\eta](z; \tau) = \sum_{n \in 2\mathbb{Z}} q^{\frac{1}{2}(n-\frac{a}{2})^2} e^{2\pi i (\frac{a}{2})(n-\frac{a}{2})}$$

(dans le réseau NS ou R, avec insertion de $(-1)^F$ ou non)

où J_a^a , $a=1..N/2$ sont les modes propres des courants

$J^{ij} = : \eta^i \eta^j : (z) \quad (i, j) \in \{(1, 2), (3, 4), \dots, (N/1, N)\}$

dans la sous-algèbre de Cartan de $SO(N)$

les fonctions de partition correspondantes sont alors

$$\prod_{a=1}^{N/2} \frac{\Theta_a(z_{ai}; \tau)}{\eta(\tau)}$$

avec $a = 1, 2, 3 \text{ ou } 4$

les fonctions de partition GSO-projectés sont donc

$$\chi_{NS}^{\pm} = \text{Tr}_{NS} \left[\frac{1 \pm (-1)^F}{2} q^{L_0 - \frac{c}{24}} \right] = \frac{1}{2} \left[\left(\frac{\theta_3}{q} \right)^{N/2} \pm \left(\frac{\theta_4}{q} \right)^{N/2} \right]$$

$$\chi_R^{\pm} = \text{Tr}_R \left[\frac{1 \pm (-1)^F}{2} q^{L_0 - \frac{c}{24}} \right] = \frac{1}{2} \left[\left(\frac{\theta_3}{q} \right)^{\frac{N}{2}} \pm \left(\frac{\theta_4}{q} \right)^{\frac{N}{2}} e^{-\frac{i\pi F}{4}} \right]$$

Ces fonctions de partition correspondent à des caractères de représentations de l'algèbre de current affine $\widehat{SO}(N)$ au niveau 1 :

$$\chi_{NS}^+ = q^{-\frac{N}{48}} (1 + \frac{N(N-4)}{2} q + O(q^2)) \equiv \chi_0$$

$$\chi_{NS}^- = q^{\frac{1}{2} - \frac{N}{48}} (N + N(N^2 - 3N + 8) q + O(q^2)) \equiv \chi_v$$

$$\chi_R^{\pm} = q^{\frac{N}{2}} q^{\frac{N}{2}} (1 + \frac{N}{2} q + \dots) \equiv \chi_{sc}$$

correspond to the representations obtained by acting with J_{NS0}^{1if} on a ground state transforming as a singlet (0), vector (1), spinor (S) or conjugate spinor (C) of $SO(N)$.

les amplitudes à une boucle des supercordes de type II s'écrivent donc

$$\Lambda_{IIA} = \frac{i \sqrt{10}}{2 (2\pi \ell_s)^{10}} \int_{\mathbb{R}^6} \frac{d^2 \tau}{2 \tau_2^2} \frac{(\chi_{NS}^- - \bar{\chi}_R^-)(\bar{\chi}_{NS}^- - \bar{\chi}_R^+)}{((\sqrt{\tau_2} \eta \bar{\tau})^8)}$$

$$\Lambda_{IIB} = \frac{i \sqrt{10}}{2 (2\pi \ell_s)^{10}} \int_{\mathbb{R}^6} \frac{d^2 \tau}{2 \tau_2^2} \frac{(\chi_{NS}^- - \bar{\chi}_R^-)(\bar{\chi}_{NS}^- - \bar{\chi}_R^+)}{((\sqrt{\tau_2} \eta \bar{\tau})^8)}$$

où $\chi_{NS,R}^{\pm}$ sont les caractères de deux plus haut pour $N=8$ fermions however (comme pour le onde fermionique, les fermions et superfermions comprennent la contribution du modus χ^μ et ψ^μ , $\mu=0,1$)

(5)

Il est facile de vérifier que ces amplitudes sont invariantes modulaires.

$$z \rightarrow z+1 : \quad \theta_3(z+1) = \theta_4(z)$$

$$\theta_4(z+1) = \theta_3(z)$$

$$\eta(z+1) = e^{\frac{i\pi}{4}} \eta(z)$$

$$\frac{\theta_3^4 - \theta_4^4 - \theta_2^4}{\eta^4} \rightarrow \frac{\theta_4^4 - \theta_3^4 + \theta_2^4}{\eta^4} : \text{invariant}$$

$$z \rightarrow -z : \quad \theta_3(-z) = \sqrt{-iz} \theta_3(z)$$

$$\theta_4(-z) = \sqrt{-iz} \theta_2(z)$$

$$\theta_2(-z) = -\sqrt{-iz} \theta_4(z)$$

$$\eta(-z) = \sqrt{-iz} \eta(z)$$

$$\frac{\theta_3^4 - \theta_4^4 - \theta_2^4}{\eta^4} \rightarrow \frac{\theta_3^4 - \theta_2^4 - \theta_4^4}{\eta^4} \frac{(\sqrt{-iz})^4}{(\sqrt{-iz})^4} : \text{invariant}$$

Mieux, elles sont strictement égales à 0 !

$$\theta_3^4 - \theta_4^4 - \theta_2^4 \pm \theta_1^4 = 0 \quad (\text{identité de Riemann})$$

Ceci implique la dégénérence entre basse et fermion à tous les niveaux d'excitation, et donc la symétrie d'espace-temps des théories de type IIA et IIB.

Rk: comme $\theta_2=0$, l'amplitude du vide n'est pas suffisante pour différencier les théories de type IIA et IIB...

$$\begin{aligned} \left. \begin{aligned} \chi_{NS}^- - \chi_R^- \\ \bar{\chi}_{NS}^- - \bar{\chi}_R^- \end{aligned} \right\} &= \frac{1}{2} \sum_{a,b=0,1} (-1)^{ab+eab} \frac{\theta_1^4}{\eta^4}, \quad \left. \begin{aligned} \chi_{NS}^- - \chi_R^+ \\ \bar{\chi}_{NS}^- - \bar{\chi}_R^+ \end{aligned} \right\} = \left. \begin{aligned} \chi_{NS}^+ - \chi_R^- \\ \bar{\chi}_{NS}^+ - \bar{\chi}_R^- \end{aligned} \right\} = 0 \end{aligned}$$

(6)

Codes heterotropiques

A priori, l'elimination des fantômes dues aux composantes temporelles de X^{μ} et η^{μ} à l'aide de matrice indépendante du code gauche et du code droit.

Il est donc possible de construire une "chimère" telle que les modes gaudus soient purement "feminines", avec une algèbre de Virasoro $T(\tau)$ éliminant \bar{X}^{μ} , tandis que le mode droit soit "femininque", avec une algèbre superconforme $\mathcal{H}=1$ $\bar{T}(\bar{\tau}), \bar{G}(\bar{\tau})$ éliminant \bar{X}^{μ} et $\bar{\eta}^{\mu}$. Cela requiert deux charges tentaculaires $c_L = 26$ et $c_R = 15$ différentes ! On peut séparer $c_L = 10 + 16$ correspondant à 10 bosons chiraux ΔX^{μ} , s'annulant à $\bar{\Delta}X^{\mu}$ pour donner le moment R^{μ} en $D=10$ dimensions, et une théorie conforme quelque chose d'ähnliche avec ΔX^{μ} et $\bar{\Delta}X^{\mu}$ consistent avec l'invariance modulaire.

Considérons par exemple 32 fermions libres : on peut montrer qu'il existe que deux choix de conditions de bord menant à une partition invariant modulaire :

$$\begin{aligned} Z_{SO(32)} &= \chi_0^{N=32} + \chi_s^{N=32} \\ &= \frac{1}{2} \frac{\theta_3^{16} + \theta_4^{16} + \theta_2^{16} + \theta_1^{16}}{\eta^{16}} \end{aligned}$$

$$\begin{aligned} Z_{(-\frac{1}{2})} &= \frac{Z(\tau)}{2} \\ &= \frac{Z(\tau+1)}{2} \end{aligned}$$

Le spectre consiste en

Pour $Z_{E_8 \times E_8}$:

$$\Lambda = \Lambda_r^{\text{E}_8} \oplus \Lambda_s^{\text{E}_8}$$

$$\begin{aligned} \Lambda_r^{\text{E}_8} &= \text{réseau des racines de } SO(32) \\ &= \Lambda_r^{\text{SO}(16)} \oplus (\Lambda_r^{\text{SO}(16)} + \Lambda_s^{\text{SO}(16)}) \end{aligned}$$

↑
réseau des racines de $SO(32)$
↓
réseau des racines transféré par le poids correspondant au spinor.

- secteur NS : $\Delta X^{\mu}, \bar{\eta}^{\mu} e^{i\omega X}$

$\psi^{\mu}, \bar{\psi}^{\mu}$: gravitino, dilatino, 2-forme E_8

$$= \frac{1}{4} \frac{(\theta_3^8 + \theta_4^8 + \theta_2^8 + \theta_1^8)^2}{\eta^{16}}$$

- secteur R :

$\Delta X^{\mu}, \bar{S}_{\alpha} e^{i\omega X}$: gravitino

$\psi^{\mu}, \bar{\psi}^{\mu}, \bar{S}_{\alpha} e^{i\omega X}$: dilatino

Remarque : en utilisant l'identité de Riemann $\Omega_3^4 - \Omega_4^4 - \Omega_2^4 = 0$, on peut voir que $Z_{SO(32)} = Z_{E_8 \times E_8}$. Mais cette degenerance peut être levée en allumant des générateurs de Cartan $\eta^{\mu i} \eta^{\mu j}$.

Ces 32 fermions chiraux peuvent être basés sur 16 bosons chiraux, de telle manière que la fonction de partition s'écrive

$$Z_{\Lambda}(\tau) = \sum_{P \in \Lambda} q^{\frac{1}{2} P^2}$$

où Λ est un réseau euclidien de dimension 16, pair (ie $P^2 \in 2\mathbb{Z}$ pour tout vecteur du réseau) et selfdual de manière à avoir l'invariance modulaire (en effet, on montre par recouvrement de Raman que $Z_{\Lambda}(-1/\tau) = Z_{\Lambda^*}(\tau)$).

Pour $Z_{SO(32)}$:

$$\Lambda = \Lambda_r^{\text{SO}(16)} \oplus (\Lambda_r^{\text{SO}(16)} + \Lambda_s^{\text{SO}(16)})$$

Considérons par exemple 32 fermions libres : on peut montrer qu'il existe que deux choix de conditions de bord menant à une partition invariant modulaire :

la théorie a une supersymétrie $N=1$ dans l'espace - temps.

Dans le référentiel d'Einstein, l'action effective de l'onde énergie est

$$\begin{aligned} S = \frac{1}{2\epsilon^2} \int d^4x \sqrt{g} & \left[R - \frac{1}{2} (\partial\phi)^2 - e^{-\phi} \hat{H}^2 - \frac{\kappa^2 e^{-\phi/2}}{16} T_F^2 \right] \\ & + \text{fermions} \end{aligned}$$

avec

$$F = dA - i[A, A]$$

$$\hat{H} = dB - \frac{\kappa^2}{g^2} \text{Tr} \left(ADA - \frac{2i}{3} A A A A \right)$$

Forme de Chern-Simons ; provient en réalité d'une correction à une branche

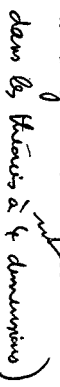
$$dA = dM - i[A, A]$$

$$\delta B = \frac{\kappa^2}{g^2} \text{Tr}(A dA)$$

Remarque : cette théorie est potentiellement anomale, du au diagramme d'hexagone



(qui joue un rôle analogue au diagramme dans les théories à 4 dimensions)



Malheureusement, la partie "réductible" (au facteur) de l'anomalie est compensée par un diagramme



combinant la effet du terme $dB \wedge (ADA)$ et $B \wedge (\bar{F} F^2)^2$ dans l'action. La partie "non factorisable" quant à elle

disparaît lorsque $G = SO(82)$

ou $E_8 \times E_8$

également dans la théorie de type I.

on $E_8 \times U(1)^{248}$

ou $U(1)^{496}$

Calculons maintenant l'amplitude à une branche dans la corde hétérogène :

$$\Lambda_{het} = \frac{i}{2} \frac{V_{10}}{(2\pi s)^9} \int \frac{dz}{z} \frac{(\bar{\chi}_{ns} - \bar{\chi}_R)}{(\bar{\psi}_L \eta \bar{\eta})^8} Z_{16} = 0 \quad \text{par l'identité de Riemann } \theta_3^{'} - \theta_4^{'} - \theta_2^{'} = 0$$

Remarque : si on s'autorise à briser la SUSY d'espace-temps, on peut construire une autre théorie des cordes consistante à $D=10$ dimensions, sans facteur et avec symétrie de jauge $SO(16) \times SO(16)$. C'est un "oblique" de la corde hétérogène $E_8 \times E_8$ par la symétrie $(-)^{F_L} \cdot S_A \cdot S_2$

→ charge le signe des fermions de $SO(16)$
→ charge le signe $\tilde{S}_A \rightarrow -\tilde{S}_A$ des fermions de $SO(1,9)$
(la combinaison est réservée par l'amplitude à 4 branche).

$$Z_{het} = \frac{1}{2} \sum_{h,g=0}^4 \frac{\left(Z_E \left[\frac{h}{g} \right] \right)^2}{\left(\bar{\psi}_L \eta \bar{\eta} \right)^8} \cdot \frac{1}{2} \sum_{a,b} (-1)^{ab+ab+gh+gh+g} \frac{\bar{\theta}^a \bar{\tau}^a_b}{\bar{\eta}^4}$$

avec

$$Z_E \left[\frac{h}{g} \right] = \frac{1}{2} \sum_{\delta, \bar{\delta}=0}^4 \frac{\theta^\delta \left[\frac{h}{g} \right]}{\eta^\delta}$$

et deux théories hétérogènes !

avec

$$Z_E \left[\frac{h}{g} \right] = \frac{1}{2} \sum_{\delta, \bar{\delta}=0}^4 \frac{\theta^\delta \left[\frac{h}{g} \right]}{\eta^\delta}$$

(c) sont des cordes ouvertes non orientées, couplées aux cordes fermées non orientées, avec symétrie $\mathcal{D}=2$ et symétrie de jauge $S(N)$ dans l'espace celle.

On introduit l'opérateur de "partie" de feuille d'amiens "

$$\left\{ \begin{array}{l} \Omega \alpha_r^r \Omega^{-1} = \alpha_k^r \\ \Omega \psi_r^r \Omega^{-1} = \tilde{\psi}_k^r \\ \Omega \tilde{\psi}_r \Omega^{-1} = -\psi_r^r \end{array} \right. \quad \left\{ \begin{array}{l} \Omega \hat{\alpha}_k \Omega^{-1} = \alpha_k^r \\ \Omega \hat{\psi}_k \Omega^{-1} = \psi_r^r \end{array} \right. \quad \left. \begin{array}{l} \Omega \alpha_k^r \Omega^{-1} = -\alpha_k^r \\ \Omega \psi_k \Omega^{-1} = -\psi_r^r \end{array} \right\}$$

(cas des fermes)

$$\left\{ \begin{array}{l} \Omega |\rho^r\rangle_{NSNS} = |\rho^r\rangle_{NSNS} \\ \Omega |\rho^r\rangle_{RR} = -|\rho^r\rangle_{RR} \\ \Omega |NSR\rangle = |\mathcal{R}NS\rangle \end{array} \right.$$

↑ pour convenance.

+ projection GSO de type III

$$\left\{ \begin{array}{l} \Omega \alpha_k^r \Omega^{-1} = (-1)^k \alpha_k^r \\ \Omega \psi_r^r \Omega^{-1} = (-1)^r \psi_r^r \\ \Omega |\rho; ij\rangle_{NS} = -i |\rho; ji\rangle_{NS} \\ \Omega |\rho; ij\rangle_R = -|\rho; ji\rangle_R \end{array} \right. \quad \left. \begin{array}{l} (ij): \text{fibration de} \\ \text{Chas-Paton} \end{array} \right.$$

(cas des ouvertes, Neumann)

On projette sur les états invariants sous Ω :

$$\Omega |\rho \mu \nu \rangle = |\rho \mu \nu \rangle$$

* Cas des cordes ouvertes

- Action des cordes fermées : la dilatation et la gravitation restent, la $B_{\mu\nu}$ est éliminée ; dans le système RR : seuls restent la 2-forme $B_{\mu\nu}$ et la 6-forme $\tilde{B}_{\mu\nu\rho\sigma}$, duals l'un de l'autre.

- Action des cordes ouvertes : on obtient $\frac{N(N-1)}{2}$ champs de jauge A_{μ}^{ij} dans l'adjoint de $S(N)$, et au total de dilatino

l'absence d'anomalies, ou la "cancelation des loops", requiert $N=32$, ce qui donne la même espèce de masse nulle que la onde hachetique $S(32)$.

* Cordes fermées non orientées :

les cordes fermées que nous avons considérées jusqu'à présent étaient orientées : les modes "left-moving" et "right-moving" étaient distinguables.

la symétrie $\delta \rightarrow \delta \pi - \delta$, $\tau \rightarrow \tau$ échange un mode.

Elle est représentée par un opérateur unitaire Ω dans l'espace de Fock, tel que

$$\left\{ \begin{array}{l} \Omega \alpha_k^r \Omega^{-1} = \alpha_k^r \\ \Omega \psi_k \Omega^{-1} = \psi_r^r \\ \Omega \hat{\alpha}_k \Omega^{-1} = \alpha_k^r \\ \Omega \hat{\psi}_k \Omega^{-1} = \psi_r^r \end{array} \right. \quad \Omega^2 = 1$$

On peut montrer que le ketgen $|\rho^r\rangle$ doit être invariant :

$$\Omega |\rho^r\rangle = |\rho^r\rangle$$

la corde fermée non-orientée est définie en ne gardant que les états invariants sous Ω , $\Omega |\rho \mu \nu \rangle = |\rho \mu \nu \rangle$.

On voit que le premier niveau excité ne contient plus que la gravitation et la dilatation ; le champ de Kells-Ramond est éliminé.

On considère ici des conditions "NN" (Neumann aux 8 bords) les moins conservatoires que plus haut avec $\rho^r \rightarrow 2\rho^r$ montrant que le spectre de la corde ouverte est donné par

$$L_S m^2 = (N^{\perp} - a) \left\{ \begin{array}{l} N^{\perp} = \sum_{R=1}^{\infty} \alpha_R^i \alpha_R^i \\ a = \frac{D-2}{24} \end{array} \right.$$

Tai encore, la constante impose $a=1$, $D=26$.

le niveau fondamental est toujours bactymique, de même $\epsilon^2 m^2 = -1$ (2 fois moins que celui de la onde fermée)

le premier niveau excité $\alpha_{-1}^i |p\rangle$ est un boson transverse de masse nulle ; la théorie effective n'est autre que Maxwell :

$$S_{\text{eff}}^{\text{ouv.}} = \int d^2x e^{-ip} [(\partial t)^2 + t^2 - \frac{1}{4} (\partial_\mu A_\nu - \partial_\nu A_\mu)^2]$$

Remarques :

- Ω est possible d'attacher un indice de "couleur", à chaque extrémité de la onde ouverte, $i, j = 1..N$: niveau de Chan-Paton
- Si on demande que les seules interactions possibles sont du type $i \curvearrowright \rightarrow j \curvearrowleft$, on voit que les interactions doivent être invariantes sous une symétrie de jauge $U(N)$:

Pour cela, changeons de base : $|p^\mu; i\rangle = \sum_j \lambda_{ij} |\tilde{p}^\mu; i, j\rangle$
où λ_{ij} , $i = 1..N^2$ sont les générateurs de l'algèbre de loi de $U(N)$:

$$[\lambda^a, \lambda^b] = f^{abc} \lambda^c$$

les amplitudes sont ainsi proportionnelles à des traces de produits de λ

$$\text{Tr}(\lambda^a \lambda^b \lambda^c)$$

invariantes sous $\lambda \rightarrow U \lambda U^{-1}$, $U^\dagger U = 1$



On voit que la théorie effective est alors une théorie de Yang-Mills, analogue à celle qui décrit les interactions fondées !

(5)

* Comme pour les ondes fermées, il est possible de définir une

nouvelle "non-orientée" des ondes ouvertes :

$$\text{Par les ondes NN, l'action de } \Omega : \sigma \rightarrow \pi - \sigma$$

dans l'espace de Fock est

$$\Omega \propto \Omega^{-1} = (-1)^\mu \propto \mu$$

! Deux ondes ouvertes peuvent toujours se combiner en une onde fermée

En l'absence de facteurs de Chan-Paton, le premier niveau excité est donc éliminé : plus de boson de jauge !

Mais si $N > 4$, il y a de nouvelles possibilités :

Supposons

$$\Omega |p; ij\rangle = \varepsilon (\gamma_2)_{iij} |p; j'j'\rangle (\gamma_2^{-1})_{j'j}$$

où γ_2 est une matrice unitaire $N \times N$

la condition $\Omega^2 = 1$ impose

$$\gamma_2 = \sum_i \gamma_2^i, \quad \varepsilon^i \varepsilon_i^j = 1$$

Comme $\det(\gamma_2) = \det(\gamma_2^i)$, $\varepsilon_i^N = 1$.

Les états du 1^{er} niveau $A_{i,a}^{\mu,\alpha} = \sum_j \lambda_{ij} \alpha_{-1}^i |p; i, j\rangle$

sont invariants sous $\lambda = -\varepsilon \gamma_2 \lambda^T \gamma_2^{-1}$ (4)

On en déduit $\varepsilon^2 = 1$, $\varepsilon_i^2 = 1$.

Enfin, il est nécessaire que si λ_1, λ_2 vérifient (4), $[\lambda_1, \lambda_2]$ aussi. Cela fixe $\varepsilon = 1$. Ω n'a donc 2 possibilités :

$$\varepsilon = 1 : \quad \gamma_2 \text{ est diagonalisable} \rightarrow \gamma_2 = \begin{pmatrix} e^{i\theta_1} & & \\ & \ddots & \\ & & e^{i\theta_N} \end{pmatrix}$$

$$\lambda_{ii} = 0, \quad \lambda_{ij} = i R_{ij} e^{i(\theta_i - \theta_j)}$$

On trouve que l'on peut toujours se ramener à $\gamma_2 = 1$, et donc $G = SO(N)$

(5)¹¹

Amplitudes du vide des cordes ouvertes harmoniques

Dans le cas des cordes ouvertes orientées, le diagramme à une boucle correspond à la topologie du cylindre, équivalente à celle de l'anneau.

Dans la jauge du cône de lumière, la condition d'état physique est

$$m_c^2 = \frac{L_0^4}{\ell^2} \quad (\text{pas de "level matching"})$$

On a donc, en théorie des champs,

$$\begin{aligned} \ln Z_{\text{vide}} &= \frac{i}{2} \frac{V_D}{(8\pi^2 \ell^2)^{1/2}} \int_0^{+\infty} dt \cdot t^{-2k} \sum_i (-1)^{F_i} \exp(-\pi t m_i^2) \\ &= \frac{i}{2} V_D \int_0^{+\infty} \frac{dt}{t} (4\pi^2 t)^{-2k} \sum_i (-1)^{F_i} \exp\left(-\pi \frac{L_0^4}{\ell^2} t\right) \\ &= \frac{i}{2} V_D \int_0^{+\infty} \frac{dt}{t} (8\pi^2 \ell^2 t)^{-2k} (-1)^F \exp(-\pi t L_0^4) \end{aligned}$$

C'est aussi le résultat de l'intégrale fonctionnelle pour les cordes ouvertes, aux facteurs de Chan-Paton pris ; par la corde ouverte harmonique

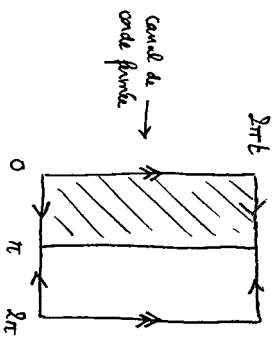
$$\Lambda = \ln Z_{\text{vide}} = \frac{i}{2} V_D \int_0^{+\infty} \frac{dt}{t} \frac{1}{(8\pi^2 \ell^2 t)^{1/2}} \frac{1}{\eta^{2k}(it)}$$

L'amplitude devient dans l'IIR, en raison du facteur :

$$\Lambda \sim N^2 \frac{V_D}{2} \int_0^{+\infty} \frac{dt}{t} \frac{1}{(8\pi^2 \ell^2 t)^{1/2}} \cdot e^{2\pi it} (1 + 24 e^{-2\pi t} + \dots)$$

Contrairement aux cordes fermées, les divergences UV en $t \rightarrow 0$ persistent, mais elles sont interprétées comme des effets inférieurs dans le "canal harmonique", si le secteur des cordes fermées.

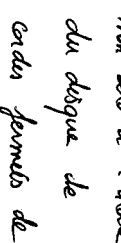
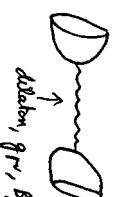
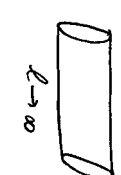
$$\ell = \frac{\pi}{E}$$



$$\text{modèle du bore : } z = it$$

$$\text{longueur du cylindre pour circonference} = 2\pi c$$

$$\ell = \frac{\pi}{E}$$



$$\Lambda = \frac{i N^2 V_D}{2 \pi (8\pi^2 \ell^2)^{1/2}} \int_0^{+\infty} dt \left[\eta\left(\frac{it}{\pi}\right) \right]^{-2k}$$

$$\text{Pour } t \rightarrow 0, \ell \rightarrow \infty, \left[\eta\left(\frac{it}{\pi}\right) \right]^{-2k} \sim e^{2it} + 24 + O(e^{-2it})$$

Le premier terme correspond au boson de corde fermée, qui sera éliminé dans la corde de type I.

Le second terme donne une divergence physique, due à un couplage non zéro à l'ordre

non zéro à l'ordre

du degré de masse nulle

cordes fermées de

\rightarrow ferme $\int d^5x \sqrt{-G} e^{-\phi}$ dans l'action effective,

qui déboule à vide

On en voit plus loin l'interprétation en termes de D-branes et chiffrables.

On obtient donc

$$A_{\text{m\'ebius}} = i \xi N V_{26} \int_0^\infty \frac{dt}{4t} \frac{1}{(8\pi^2 g^2 t)^{13}} \frac{1}{[\theta_3(2it) \eta(2it)]^{12}}$$

$$= 2i\xi N \cdot \frac{2^{13} V_{26}}{4\pi (\partial r^2 \xi^2)^{13}} \int_0^\infty \frac{dt}{4t} [\theta_3\left(\frac{2i\xi}{\pi}\right) \eta\left(\frac{2i\xi}{\pi}\right)]^{-12}$$

qui converge dans la limite $L \rightarrow \infty$ comme

$$-48i\xi N \cdot \frac{2^{13} V_{26}}{4\pi (\partial r^2 \xi^2)^{13}} \int_0^\infty dt \quad (+ \text{tachy})$$

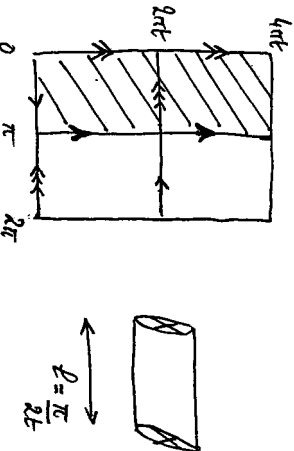
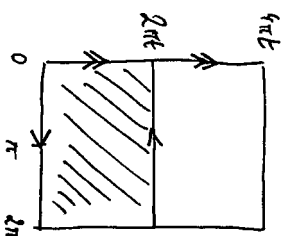
cordes fermées non orientées

Dans le secteur des cordes fermées, $\mathcal{D}: \tau \mapsto 2\tau - \sigma$ agit sur

les oscillateurs bosoniques par

$$\begin{aligned} \Omega \alpha_k^\mu \Omega^{-1} &= \bar{\alpha}_k^\mu \\ \Omega \bar{\alpha}_k^\mu \Omega^{-1} &= \alpha_k^\mu \end{aligned}$$

Geométriquement, la surface d'univers a la topologie d'une bouteille de Klein: quotient d'un tore de module $\tau = 2it$ par l'inversion $z \mapsto -\bar{z} + 2n$ it:



$$\text{Bous. like: } \frac{1}{2} T_h \Omega e^{-\beta \omega (l_0 + \bar{l}_0)} = \frac{V}{4\pi \xi \sqrt{E} \eta(2it)}$$

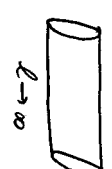
(2)

$$\Lambda = \frac{i N^2 V_{26}}{8\pi^2 g^2} \int_0^\infty dt \left[\eta\left(\frac{i\xi}{\pi}\right) \right]^{-24}$$

$$\text{Pour } t \rightarrow 0, L \rightarrow \infty, \left[\eta\left(\frac{i\xi}{\pi}\right) \right]^{-24} \sim e^{2x} + 2e + O(e^{-2x})$$

Le premier terme correspond au tachyon de corde fermée, qui sera éliminé dans le cadre de type I.

Le second terme donne une divergence physique, due à un couplage non zéro à l'ordre



du disque de
cordes fermées de
masse nulle

→ forme $\int dx \sqrt{-g} e^{-\phi}$ dans l'action effective,

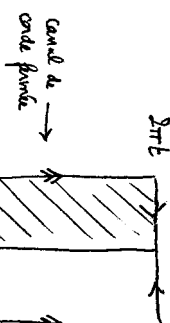
qui débabilise le rideau.
On en revient plus loin à l'interprétation en termes de D-branes et
orientifolds.

RE: Géométriquement, le cylindre peut être vu comme le quotient du tore par l'application antiholomorphe $z \mapsto -\bar{z}$

modèle du tore: $\tau = it$

longueur du cylindre pour
circumférence = $2\pi c$:

$$c = \frac{\pi}{E}$$



cordes ouvertes

$$\text{Bous. like: } \frac{1}{2} T_h \Omega e^{-\beta \omega (l_0 + \bar{l}_0)} = \frac{V}{4\pi \xi \sqrt{E} \eta(2it)}$$

(3)

Ondes ouvertes non orientées

(10)

L'opérateur de ponte Ω : $\sigma \rightarrow \pi - \sigma$

agit sur les oscillateurs harmoniques par

$$\Omega \alpha_k^{\mu} \Omega^{-1} = \begin{cases} (-1)^k \alpha_k^{\mu} & \text{conditions de } N-N \\ (-1)^{k+1} \alpha_k^{\mu} & \text{conditions de } D-D \end{cases}$$

échange sections $N-D$ et $D-N$

L'inversion de Ω dans la trace conduit donc à

$$\frac{1}{2} \operatorname{Tr} \Omega e^{-2\pi i t} \zeta_0 = \frac{N}{2\pi \beta g^* E} \prod_{n=1}^{\infty} \frac{1}{1 - (-1)^n e^{-2\pi n t}} = \frac{N}{2\pi \beta g^* \sqrt{E}} \prod_{n=1}^{\infty} \frac{1}{1 - e^{-2\pi n t}} \cdot \frac{1}{1 + e^{-2\pi n t}}$$

Géométriquement, la topologie de la feuille d'univers est donnée par le quotient d'un tore de module $\tau = 2\pi t$, par les involutions anti-éléments $\left\{ \bar{z} \rightarrow -\bar{z} : = \text{ruban de Möbius} \right. \left. z \rightarrow z + 2\pi \left(it + \frac{1}{2} \right) \right\}$

$2\pi t + \dots$



$$(disque + ruban opp)$$

$$\ell = \frac{\pi}{4t}$$

L'action sur les facteurs CP est donnée par $\Omega |ij\rangle = \varepsilon \langle jx \rangle_{ii'} (\delta_x^{-1})_{jj'} |j'x'\rangle$

$$\sum_{ij} \langle ij | \Omega | ij' \rangle = \operatorname{Tr} (\gamma_x^\dagger \gamma_x^{-1}) = \xi N$$

$$\gamma_x = \xi \gamma_x^T, \quad \xi = 4 \quad (\text{so}(N))$$

$$\text{ou } \xi = -4 \quad (\text{so}(2N))$$

On obtient donc

$$A_{\text{métissé}} = i \xi N V_{2\ell} \int_0^\infty \frac{dt}{4t} \frac{1}{(8\pi^2 \beta^2 t)^{12}} \frac{1}{[\Theta_3(2it) \eta(2it)]^{12}} = 2i\xi N \cdot \frac{2^{13} V_{2\ell}}{4\pi (8\pi^2 \beta^2)^{12}} \int_0^\infty \frac{dt}{4t} [\Theta_3(\frac{2it\ell}{\pi}) \eta(\frac{2it\ell}{\pi})]^{-12}$$

qui diverge dans la limite $L \rightarrow \infty$ comme

$$-48i\xi N \cdot \frac{2^{13} V_{2\ell}}{6\pi (8\pi^2 \beta^2)^{12}} \int_0^\infty dt \quad (+ \text{backgr})$$

Ondes fermées non orientées

Dans le secteur des ondes fermées, $\Omega: \sigma \rightarrow 2\pi - \sigma$ agit sur les oscillateurs harmoniques par

$$\Omega \alpha_k^{\mu} \Omega^{-1} = \bar{\alpha}_k^{\mu}$$

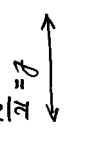
$$\bar{\Omega} \bar{\alpha}_k^{\mu} \bar{\Omega}^{-1} = \alpha_k^{\mu}$$

Géométriquement, la surface d'univers a la topologie d'une bouteille de Klein: quotient d'un tore de module $\tau = 2\pi t$ par l'involution $\bar{z} \rightarrow -\bar{z} + 2\pi t$.

$2\pi t$



$\ell = \frac{\pi}{4t}$



$$\text{Boson-like: } \frac{1}{2} \operatorname{Tr} \Omega e^{-2\pi t (l_0 + \bar{l}_0 - \frac{c}{24})} = \frac{V}{4\pi \beta \sqrt{E} \eta(2it)}$$

(11)

Pour la onde harmonique fermée,

(12)

$$\begin{aligned} A_{\text{ klein}} &= \frac{i \sqrt{V_{26}}}{(2\pi\ell_5)^{26}} \int_0^\infty dt \frac{1}{t^{13} \eta^{24} (2i\epsilon)} \\ &= \frac{i 2^{26} \sqrt{V_{26}}}{4\pi (8\pi^2 \ell_5^2)^{13}} \int_0^\infty t^{-24} \left(\frac{i\ell}{\pi} \right) dt \\ &\sim 24i \cdot \frac{2^{26} \sqrt{V_{26}}}{4\pi (8\pi^2 \ell_5^2)^{13}} \int_0^\infty dt \quad (+ \text{ backlog}) \end{aligned}$$

Compensation des hadropes pour la onde harmonique non orientée:

$$\begin{aligned} A_{\text{ klein}} + A_{\text{ modulus}} + A_{\text{ cylindrique}} \\ = i \frac{12 \sqrt{V_{26}}}{2\pi (8\pi^2 \ell_5^2)^9} \left(2^{13} - \xi N \right)^2 \int_0^\infty dt \end{aligned}$$

Ainsi, pour $\xi = 1$, $N = 2^3$ les hadropes de ondes fermées de masse nulle se compensent ! On obtient une théorie de ondes ouvertes + fermées non orientées avec symétrie de jauge SOC(8192)

En revanche, cette théorie n'est pas valide en raison des hadropes de ondes ouvertes et fermées, mais on voit une manifestation du phénomène pour la onde de type I.

Super-ondes de type I :

(13)

$$\begin{aligned} A_{\text{ type I}} &= \frac{1}{2} A_{\text{ IIB}} = \frac{i V_{10}}{8(2\pi\ell_5)^{10}} \int_0^\infty \frac{dt}{\tau_2^2} \frac{1}{(\bar{\eta}_2 \eta \bar{\eta})^8} \\ &\quad \cdot \frac{1}{2} \sum_{a,b=0}^1 (-1)^{ab} \sum_{\alpha, \beta=0}^1 (-1)^{ab} \theta^a \bar{\theta}^b \bar{\eta}^2 \frac{\partial^4 \bar{\eta}^2}{\partial \bar{\eta}^2} \\ &\quad \cdot \frac{1}{\eta^4 \bar{\eta}^4} \end{aligned}$$

where the \wedge flip the signs in q expansion:

$$q^{\Delta_{24} - \sum_n a_n q^n} \rightarrow q^{\Delta_{24} - \sum_n a_n (-1)^n q^n}$$

$$\begin{aligned} &= -i \xi N V_{10} \int_0^\infty \frac{dt}{8t} \frac{\theta_2'(2i\epsilon) \bar{\theta}_4'(2i\epsilon)}{(8\pi^2 \ell_5^2 t)^5 \eta^8(2i\epsilon) \bar{\theta}_3^4(2i\epsilon)} \\ &A_{\text{ modulus}}^R = -i \xi R \xi N V_{10} \int_0^\infty \frac{dt}{8t} \frac{\sum_{b=0}^1 (-1)^b \bar{\theta}^b \bar{\eta}^2 (i\ell)}{(8\pi^2 \ell_5^2 t)^5 \bar{\eta}^{12} (i\ell)} \end{aligned}$$

$$\begin{aligned} &= -i \xi R \xi N V_{10} \int_0^\infty \frac{dt}{8t} \frac{\theta_2^4(2i\epsilon) \bar{\theta}_4^4(2i\epsilon)}{(8\pi^2 \ell_5^2 t)^5 \eta^8(2i\epsilon) \bar{\theta}_3^4(2i\epsilon)} \\ &A_{\text{ modulus}}^R = \left[N^2 - 2^6 \xi N + (\xi^2)^2 \right] \frac{i V_{10}}{16\pi (2\pi\ell_5)^{10}} \int_0^\infty dt \end{aligned}$$

Il s'annule pour $N=32$, $\xi=1$, $\xi_R=-1 \Rightarrow$ théorie de type I.

Exercices 6. Conformal field theory

(16)

avec des branes de gauge $SU(32) +$ partenaires fermioniques
au niveau de masse nulle, avec $R_{\mu\nu} = \frac{1}{2}g_{\mu\nu}$

1. Using the mode expansion and canonical commutation relations,
compute the two-point function of fermions in the Ramond
sector, on the sphere. Answer: $\langle S | \psi(z)\bar{\psi}(w) | S \rangle$

$$= \delta^{ij} \frac{z-w}{\partial \sqrt{g(z)}} \cdot \frac{1}{z-w}.$$

Extract the rev of the stress energy tensor $\langle S | T(z) | S \rangle$
and conclude that the conformal dimension of S is $N/16$.

2. Consider a free massless scalar field X , with deformed

stress energy tensor

$$T = -\frac{1}{\ell_s^2} : \partial X \partial X : + \frac{Q}{\ell_s \sqrt{2}} \partial^2 X$$

and would propagator

$$\langle X(z, \bar{z}) X(w, \bar{w}) \rangle = -\frac{\ell_s^2}{2} \log |z-w|^2$$

Compute the central charge and dimension of the vertex operator $:e^{ipX}:$

$$\text{Answer: } c = 1 + 3Q^2, \quad \Delta(p) = \frac{\ell_s^2}{4} p^2 + iQ \frac{\ell_s p}{2\sqrt{2}}$$

[Optimal: show that the (c, χ) symmetry associated to $J = \frac{i\bar{E}}{8} \partial X$
is anomalous, in the sense that

$$T(z) J(w) = \frac{i\bar{Q}}{(z-w)^3} + \frac{J(w)}{(z-w)^2} + \frac{\partial_w J(w)}{z-w} + \text{reg.}$$

Conclude that $\langle \prod_{i=1}^n V_{p_i} \rangle = 0$ unless $i\bar{Q} \sum_{i=1}^n p_i = Q_N$
on a Riemann surface of genus g .]

⚠ C'est à moins spécif de masse nulle que la branche fondamentale $SU(32)$!
on voit plus loin que les deux théories sont en fait
équivalentes non perturbativement, $g_s^T = 1/g_s^{\text{R}}$

Ré: on peut aussi choisir $\beta = 1 = \varepsilon_R$, $N=32$: les brades de RR
sont toujours annulés, mais $T_{RR} \neq 0$ et susy est brisé:
branes sont dans l'adjoint de $Sp(32)$, tandis que les fermions
forment le rep. antisymétrique.
(La cancellation des brades de RR est quant à elle obligatoire;
le potentiel de 10 forme de type IIB suivant un couple $\int F_{RR} C_10$
et pas de terme chiral, ce qui impose $T_{RR}=0$.)

Exercice 7. cas "Superrapide et superymétrique"

(M)

Exercice 8: Amplitude à 1 boucle

(N)

- Vérifier que les fermions b, c, ρ, τ sont乍 à l'alg鑒re superconforme avec $c = -10$.
- Déterminer les premiers états excités dans les secteurs NSNS et RR des cordes de type IIA et IIB.
- Déterminer la structure du lagrangien de sucre de type IIB dans le référentiel des cordes (les termes cinétiques suffisent). Vérifier que le couplage du chêlier aux champs de RR est comme attendu.
- Calculer la fonction de partition $T_{\eta} q^{b_0 - \bar{b}_0}$ d'un boson compact de rayon $L/\sqrt{2}$, et montrer qu'elle reproduit la fonction de partition de deux fermions de Majorana.
- Calculer l'amplitude de diffusion de 3 gravitons en théorie de type II (A ou B), à l'ordre de la sphère. Attention: Il faut choisir deux vertex dans la ghost picture -1, et un dans la "ghost picture" 0. Comparer (qualitativement) au développement de l'action de Einstein-Kalb-Rubin à l'ordre $O(R^3)$.

1. On donne OA et OB dont dériver par l'amplitude à 1 boucle

$$A_{OB} = \frac{i V_{10}}{2 (Q_B Q_S)^{10}} \int \frac{d^2 \zeta}{2 \pi \epsilon^2} \frac{|X_0|^2 + |X_U|^2 + |X_C|^2 + |X_S|^2}{(\sqrt{\epsilon_2} \eta \bar{\eta})^8}$$

$$A_{OA} = \quad " \quad " \quad \frac{|X_0|^2 + |X_U|^2 + X_C \bar{X}_S + \bar{X}_C X_S}{(\sqrt{\epsilon_2} \eta \bar{\eta})^8}$$

Vérifier l'invariance modulaire, déterminer le spectre de masse nulle, montrer l'existence d'un taux

2. On donne la fonction de partition

$$Z = \frac{1}{2} \sum_{b, \bar{b}, g=0}^1 \frac{\bar{Z}_{RR} [q^b]}{(\sqrt{\epsilon_2} \eta \bar{\eta})^b} \cdot \frac{1}{2} \sum (-1)^{ab+ab+g+\bar{b}\bar{h}+gh} \frac{\theta^4 [q^a]}{\bar{\eta}^4}$$

avec

$$\bar{Z}_{RR} [q^b] = \frac{1}{2} \sum_{g, \bar{g}=0}^1 (-1)^{qg+\bar{g}\bar{h}} \frac{\theta^4 [\bar{q}^g]}{\bar{\eta}^4}$$

Montrer qu'elle décrit une onde héliotrope, de groupe jaune $O(6) \times O(11)$ sans hachure.

$$v'_3 = \frac{1}{2}(v_1 + v_2 - v_3 + v_4), \quad v'_4 = \frac{1}{2}(v_1 + v_2 + v_3 - v_4). \quad (\text{C.20})$$

Using (C.18) and (C.13) we can show that

$$\frac{1}{2} \sum_{a,b=0}^1 (-1)^{a+b+ab} \prod_{i=1}^4 \vartheta_{[b+g_i]}^{[a+h_i]}(v_i) = - \prod_{i=1}^4 \vartheta_1(v'_i) + \prod_{i=1}^4 \vartheta_1(v_i). \quad (\text{C.21})$$

The Jacobi identity (C.21) is valid only when $\sum_i h_i = \sum_i g_i = 0$. There is also a similar (IIA) identity

$$\frac{1}{2} \sum_{a,b=0}^1 (-1)^{a+b} \prod_{i=1}^4 \vartheta_{[b]}^{[a]}(v_i) = - \prod_{i=1}^4 \vartheta_1(v'_i) + \prod_{i=1}^4 \vartheta_1(v_i) \quad (\text{C.22})$$

and

$$\frac{1}{2} \sum_{a,b=0}^1 (-1)^{a+b} \prod_{i=1}^4 \vartheta_{[b+g_i]}^{[a+h_i]}(v_i) = - \prod_{i=1}^4 \vartheta_{[1-g_i]}^{[1-h_i]}(v_i) + \prod_{i=1}^4 \vartheta_{[1+g_i]}^{[1+h_i]}(v_i). \quad (\text{C.23})$$

C.4 Poisson Resummation

A very useful tool to handle modular series on the torus is Poisson resummation. Consider a function $f(x)$ and its Fourier transform \tilde{f} defined as

$$\tilde{f}(k) \equiv \frac{1}{2\pi} \int_{-\infty}^{+\infty} f(x) e^{ikx} dx. \quad (\text{C.53})$$

Then, the Poisson resummation formula states that:

$$\sum_{n \in \mathbb{Z}} f(2\pi n) = \sum_{n \in \mathbb{Z}} \tilde{f}(n). \quad (\text{C.54})$$

Choosing as f an appropriate Gaussian function we obtain:

$$\sum_{n \in \mathbb{Z}} e^{-\pi a n^2 + \pi b n} = \frac{1}{\sqrt{a}} \sum_{n \in \mathbb{Z}} e^{-\frac{\pi}{a} (n + i \frac{b}{2})^2}, \quad (\text{C.55})$$

$$\sum_{n \in \mathbb{Z}} n e^{-\pi a n^2 + \pi b n} = -\frac{i}{\sqrt{a}} \sum_{n \in \mathbb{Z}} \frac{(n + i \frac{b}{2})}{a} e^{-\frac{\pi}{a} (n + i \frac{b}{2})^2}, \quad (\text{C.56})$$

$$\sum_{n \in \mathbb{Z}} n^2 e^{-\pi a n^2 + \pi b n} = \frac{1}{\sqrt{a}} \sum_{n \in \mathbb{Z}} \left[\frac{1}{2\pi a} - \frac{(n + i \frac{b}{2})^2}{a^2} \right] e^{-\frac{\pi}{a} (n + i \frac{b}{2})^2}. \quad (\text{C.57})$$

The multidimensional generalization is (repeated indices are summed over):

$$\sum_{m_i \in \mathbb{Z}} e^{-\pi m_i m_j A_{ij} + \pi B_i m_i} = (\det A)^{-\frac{1}{2}} \sum_{m_i \in \mathbb{Z}} e^{-\pi(m_k + iB_k/2)(A^{-1})_{kj}(m_l + iB_l/2)}. \quad (\text{C.58})$$